

3.5 Condizioni al contorno

Sia $\Lambda \subset \mathbb{Z}^d$, $\Lambda^c := \mathbb{Z}^d \setminus \Lambda$.

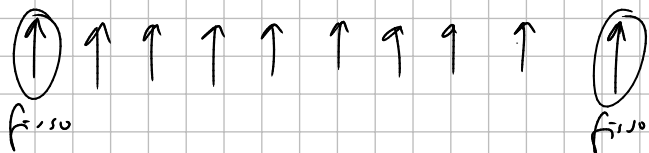
Poniamo $\partial^+ \Lambda := \{z \in \Lambda : \exists x \in \Lambda^c \text{ tale che } |x - z| = 1\}$.

L'Hamiltoniana con condizioni positivi:

$$H^+(\underline{\sigma}) := H(\underline{\sigma}) + \sum_{i \in \partial^+ \Lambda} \sigma_i$$

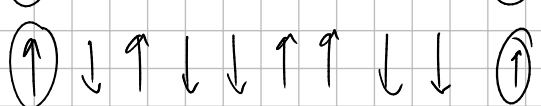
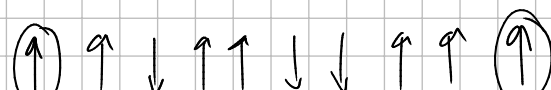
e con condizioni negativi: $H^-(\underline{\sigma}) = H(\underline{\sigma}) - \sum_{i \in \partial^- \Lambda} \sigma_i$.

Se guardano $H^+(\underline{\sigma})$ e $T < T_c$:



Prendendo adesso il limite $\Lambda \rightarrow +\infty$: ... ↑ ↑ ↑ ↑ ↑ ↑ ↑ ↑ ↑ ↑ ↑ ↑ ↑ ...

Invece a $T > T_c$:



nessuna
preferenza
di orientazione.

Temperatura alta \Rightarrow il sistema non ricorda le condizioni al contorno.

$T > T_c$: esiste solo una fase

$T < T_c$: esistono due: ↑↑↑... e ↓↓↓...

4 La teoria rigorosa del modello di Ising (capitolo 3 del libro Kelenik - Friedli)

Definizione: Sia $\Lambda \subset \mathbb{Z}^d$ un insieme compatto. — Friedli

Le configurazioni del modello di Ising sono gli elementi di $\mathcal{S}_\Lambda := \{-1, +1\}^\Lambda$.

Allora $\omega \in \mathcal{S}_\Lambda \Leftrightarrow \omega = (\omega_i)_{i \in \Lambda}, \omega_i \in \{-1, +1\}$.

Il valore del spin nel punto $i \in \Lambda$ è la variabile casuale (la funzione) $\sigma_i : \mathcal{S}_\Lambda \longrightarrow \{-1, +1\}$

$$\omega \mapsto \sigma_i(\omega) = \omega_i.$$

Scriviamo per l'istante delle coppie di priui vicini:

$$\mathcal{E}_\Lambda := \{ \{i,j\} \in \Lambda \times \Lambda : |i-j|=1 \}.$$

L'Hamiltioniana ci dà l'energia di una configurazione

$$\mathcal{H}_{\Lambda, \beta, h}^\phi(\omega) := -\beta \sum_{\{i,j\} \in \mathcal{E}_\Lambda} \sigma_i(\omega) \sigma_j(\omega) - h \sum_{i \in \Lambda} \sigma_i(\omega).$$

(β incluso in \mathcal{H})

(" ϕ " indica che non ci sono condizioni al contorno).

La distribuzione canonica:

$$\mu_{\Lambda, \beta, h}^\phi(\omega) := \frac{1}{Z_{\Lambda, \beta, h}^\phi} \exp(-\mathcal{H}_{\Lambda, \beta, h}^\phi(\omega)).$$

La funzione di partizione:

$$Z_{\Lambda, \beta, h}^\phi := \sum_{\omega \in \Omega_\Lambda} \exp(-\mathcal{H}_{\Lambda, \beta, h}^\phi(\omega)).$$

Per rappresentare le condizioni al contorno:

$$\Sigma := \{-1 + 13^d \mathbb{Z}^d,$$

e dato $y \in \Sigma$ poniamo:

$$\Sigma_\Lambda^y := \{ \omega \in \Sigma : \omega_i = y_i \forall i \notin \Lambda \}.$$

(Configurazione uguali ad y fuori di Λ .)

Per $\omega \in \Sigma_\Lambda^y$:

$$\mathcal{H}_{\Lambda, \beta, h}(\omega) := -\beta \sum_{\{i,j\} \in \mathcal{E}_\Lambda^b} \sigma_i(\omega) \sigma_j(\omega) - h \sum_{i \in \Lambda} \sigma_i(\omega)$$

dove $\mathcal{E}_\Lambda^b := \mathcal{E}_\Lambda \cup \{ \{i,j\} \in \mathbb{Z}^d \times \mathbb{Z}^d : ((i \notin \Lambda \text{ e } j \in \Lambda) \text{ o } (i \in \Lambda \text{ e } j \notin \Lambda)) \text{ e } |i-j|=1 \}.$

Così si definisce $\mu_{\Lambda, \beta, h}^y(\omega)$, $Z_{\Lambda, \beta, h}^y$.

Scriviamo μ^+ per $y_i = +1 \forall i \in \mathbb{Z}^d$,

$= \mu^-$ per $y_i = -1 \forall i \in \mathbb{Z}^d$.

Il valore atteso di una funzione $f: \Omega \rightarrow \mathbb{R}$:

$$\langle f \rangle_{\Lambda, \beta, h}^{\gamma} := \sum_{\omega \in \Omega_{\Lambda}^{\gamma}} f(\omega) \mu_{\Lambda, \beta, h}^{\gamma}(\omega).$$

(Permetto anche $\gamma = \emptyset$.)

Si dice che una successione $\Lambda_n \rightarrow \infty$ nel senso di van Hove ($\Lambda_n \uparrow \mathbb{Z}^d$) se

- $\Lambda_{n+1} \supset \Lambda_n$
- $\bigcup_{n=1}^{\infty} \Lambda_n = \mathbb{Z}^d$
- per $\partial^{\text{int}} \Lambda := \{i \in \Lambda : \exists j \notin \Lambda \text{ con } |i-j|=1\}$
vale che $\lim_{n \rightarrow \infty} \frac{|\partial^{\text{int}} \Lambda_n|}{|\Lambda_n|} = 0$.

Commento: $\Lambda_n \rightarrow \infty$ (Fischer) $\Rightarrow \Lambda_n \rightarrow \infty$ (van Hove)

Il potenziale canonico: $\psi_{\Lambda}^{\gamma}(\beta, h) := \frac{\log Z_{\Lambda, \beta, h}^{\gamma}}{|\Lambda|}$.

Lema 1: $(\beta, h) \longmapsto \psi_{\Lambda}^{\gamma}(\beta, h)$ è convessa.

Dimostrazione: Sia $\alpha \in [0, 1]$.

$$\begin{aligned} & Z_{\Lambda, \alpha \beta_1 + (1-\alpha) \beta_2, \alpha h_1 + (1-\alpha) h_2}^{\gamma} \\ &= \sum_{\omega \in \Omega_{\Lambda}^{\gamma}} \exp(-\alpha \mathcal{H}_{\Lambda, \beta_1, h_1}(\omega) - (1-\alpha) \mathcal{H}_{\Lambda, \beta_2, h_2}(\omega)) \\ &= \sum_{\omega \in \Omega_{\Lambda}^{\gamma}} \left(\exp(-\mathcal{H}_{\Lambda, \beta_1, h_1}(\omega)) \right)^{\alpha} \left(\exp(-\mathcal{H}_{\Lambda, \beta_2, h_2}(\omega)) \right)^{1-\alpha} \end{aligned}$$

usiamo la diseguaglianza di Hölder:

$$\sum_{k=1}^n |x_k y_k| \leq \left(\sum_{k=1}^n |x_k|^p \right)^{1/p} \left(\sum_{k=1}^n |y_k|^q \right)^{1/q} \quad \begin{array}{l} \text{per } q, p > 1 \\ \text{tali che} \\ \frac{1}{p} + \frac{1}{q} = 1. \end{array}$$

otteniamo con $p = \frac{1}{\alpha}$, $q = \frac{1}{1-\alpha}$:

$$\leq \left(\sum_{\omega \in \Omega_N^M} e^{-\beta l_{N,\beta,h}(\omega)} \right)^\alpha \left(\sum_{\omega \in \Omega_N^M} e^{-\beta l_{N,\beta,h}(\omega)} \right)^{1-\alpha}$$

Col logaritmo:

$$\begin{aligned} \Psi_N^M(\alpha \beta_1 + (1-\alpha) \beta_2, \alpha h_1 + (1-\alpha) h_2) \\ \leq \alpha \Psi_N^M(\beta_1, h_1) + (1-\alpha) \Psi_N^M(\beta_2, h_2). \end{aligned}$$



Teorema 2: Il limite termodinamico

$$\Psi(\beta, h) := \lim_{N \uparrow \mathbb{Z}^d} \Psi_N^M(\beta, h) \text{ esiste,}$$

non dipende dalla successione Λ_N , non dipende dalle condizioni al contorno γ , ed è convessa su $[0, \infty) \times \mathbb{R}$.

Dimostrazione:

- Esistenza e indipendenza da Λ : come capitolo 2.
- Indipendenza da γ : Per $\omega \in \Omega_N$, scriviamo ω' per la configurazione tale che: $\omega'|_\Lambda = \omega$ e $\omega'|_{\Lambda^c} = \gamma|_{\Lambda^c}$

La differenza dell'energia:

$$|\beta l_{N,\beta,h}(\omega') - \beta l_N^M(\omega)| \leq |\partial^m \Omega| \underbrace{\beta}_{\substack{\text{numero di} \\ \text{voci} \\ \in \text{d'elusione}}} 2d$$

$$\Rightarrow e^{-\beta 2d |\partial^m \Omega|} Z_{N,\beta,h}^M \leq Z_{N,\beta,h}^M \leq e^{+\beta 2d |\partial^m \Omega|} Z_{N,\beta,h}^M.$$

Prendendo il logaritmo:

Usando $|\partial^m \Omega|/|\Lambda| \rightarrow 0$ segue il risultato.

- Il limite di una successione di funzioni convesse è ade convesso.



Definizione: La densità di magnetizzazione è

$$m_\Lambda := \frac{1}{|\Lambda|} \sum_{i \in \Lambda} \sigma_i : \Omega_\Lambda \rightarrow \mathbb{R}$$

• La magnetizzazione è: $M_{\Lambda, \beta, h}^{\gamma} := \langle M_{\Lambda} \rangle_{\Lambda, \beta, h}^{\gamma}$.

Coupiò: Dimostrate che $M_{\Lambda, \beta, h}^{\gamma} = \frac{\partial \psi_{\Lambda}^{\gamma}}{\partial h}(\beta, h)$.

Affermazione: $\frac{\partial}{\partial h}$ non converge sempre con $\lim_{\Lambda \uparrow \mathbb{Z}^d}$.

Una funzione convessa ha al massimo un numero numerabile di punti di giunto, e

$$\partial^- f(x) \leq \partial^+ f(x) \quad \forall x.$$

In particolare: la magnetizzazione spontanea

$$m^*(\beta) := \lim_{h \rightarrow 0^+} m(\beta, h)$$

esiste per ogni $\beta \in [0, \infty)$.

I punti di non-differentiabilità di ψ rispetto a h sono essattamente i punti h dove

$$\lim_{h' \rightarrow h^+} m(\beta, h') \neq \lim_{h' \rightarrow h^-} m(\beta, h').$$

Definizione: ψ ha una transizione di fase nel (β, h) se $h \mapsto \psi(\beta, h)$ non è derivabile lì.

4.1 Modello di Ising n dimensione $d=1$

In una dimensione si può calcolare tutto.

Teorema 3: Per $d=1$, per ogni $\beta \geq 0$, per ogni $h \in \mathbb{R}$ abbiamo

$$\psi(\beta, h) = \log \left(e^{\beta} \cosh(h) + \sqrt{e^{2\beta} \cosh^2(h) - 2 \sinh(2\beta)} \right)$$

In particolare ψ è derivabile dappertutto, allora non ci sono le transizioni di fase.

Commeto:

Questo è il comportamento normale per $\beta = 1$.

Coupiò: Dimostrate che per $\beta \rightarrow +\infty$ ($T=0$)

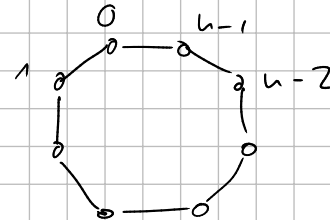
$$\lim_{\beta \rightarrow \infty} m(\beta, h) = \begin{cases} +1 & \text{se } h > 0 \\ 0 & \text{se } h = 0 \\ -1 & \text{se } h < 0 \end{cases}$$

Dimostrazione del teorema 3:

Consideriamo condizioni al contorno periodiche:

$$\Lambda_n = \{0, 1, 2, \dots, n-1\}$$

$$\mathcal{E}_n^{\text{per}} = \mathcal{E}_n \cup \{0, n-1\}$$



$$\begin{aligned} \text{Col l'argomento del teorema 2: } & \psi^{\text{per}}(\beta, L) \\ &= \psi^{\gamma}(\beta, L) = \psi^{\phi}(\beta, L). \end{aligned}$$

Così $Z_{\Lambda_n, \beta, h}^{\text{per}}$ può essere scritto come una
fraccia:

$$\begin{aligned} Z_{\Lambda_n, \beta, h}^{\text{per}} &= \sum_{\omega \in \Omega_{\Lambda_n}} e^{-\beta L_{\Lambda_n, \beta, h}(\omega)} \\ &= \underbrace{\sum_{\omega_0 \in \{\pm 1\}} \dots \sum_{\omega_{n-1} \in \{\pm 1\}}}_{\substack{\text{---} \\ \text{---}}} \underbrace{\prod_{i=0}^{n-1} e^{\beta \omega_i \omega_{i+1} + h \omega_i}}_{\substack{\text{---} \\ \text{---}}} \\ &= : A_{\omega_0, \omega_{n-1}} \end{aligned}$$

dove $\omega_n = \omega_0$

$$A = \begin{pmatrix} A_{++} & A_{+-} \\ A_{-+} & A_{--} \end{pmatrix} = \begin{pmatrix} e^{\beta+h} & e^{-\beta+h} \\ e^{-\beta-h} & e^{\beta-h} \end{pmatrix},$$

"transfer matrix"

$$\text{Così: } Z_{\Lambda_n, \beta, L}^{\text{per}} = \sum_{\omega_0 \in \{\pm 1\}} (A^n)_{\omega_0, \omega_0} = \text{tr}(A^n)$$

Autovalori di A :

$$\lambda_{\pm} = e^{\beta} \cosh(h) \pm \sqrt{e^{2\beta} \cosh^2(h) - 2 \sinh(2\beta)}$$

Gli autovelori A^n : sono λ_+^n e λ_-^n

La traccia: $\text{tr}(A^n) = \lambda_+^n + \lambda_-^n$

Allora

$$4(\beta, h) = \lim_{|\Lambda_n| \rightarrow \infty} \frac{1}{|\Lambda_n|} \log(\lambda_+^n + \lambda_-^n)$$

$$= \lim_{n \rightarrow \infty} \cancel{\frac{1}{n} \log(\lambda_+^n)} + \underbrace{\frac{1}{n} \log\left(1 + \left(\frac{\lambda_-}{\lambda_+}\right)^n\right)}$$

$$= \log(\lambda_+)$$

$$\underbrace{\qquad}_{\lambda_- \leq \lambda_+} \longrightarrow \circ$$

